





LES MATERIAUX FONT-ILS DES MATHEMATIQUES ?

Thierry CLAD

MINISTERE DE L'EDUCATION NATIONALE

Professeur de Mathématiques - Lycée Jules Haag

IREM de Franche-Comté - Groupe « Maths – Physique »

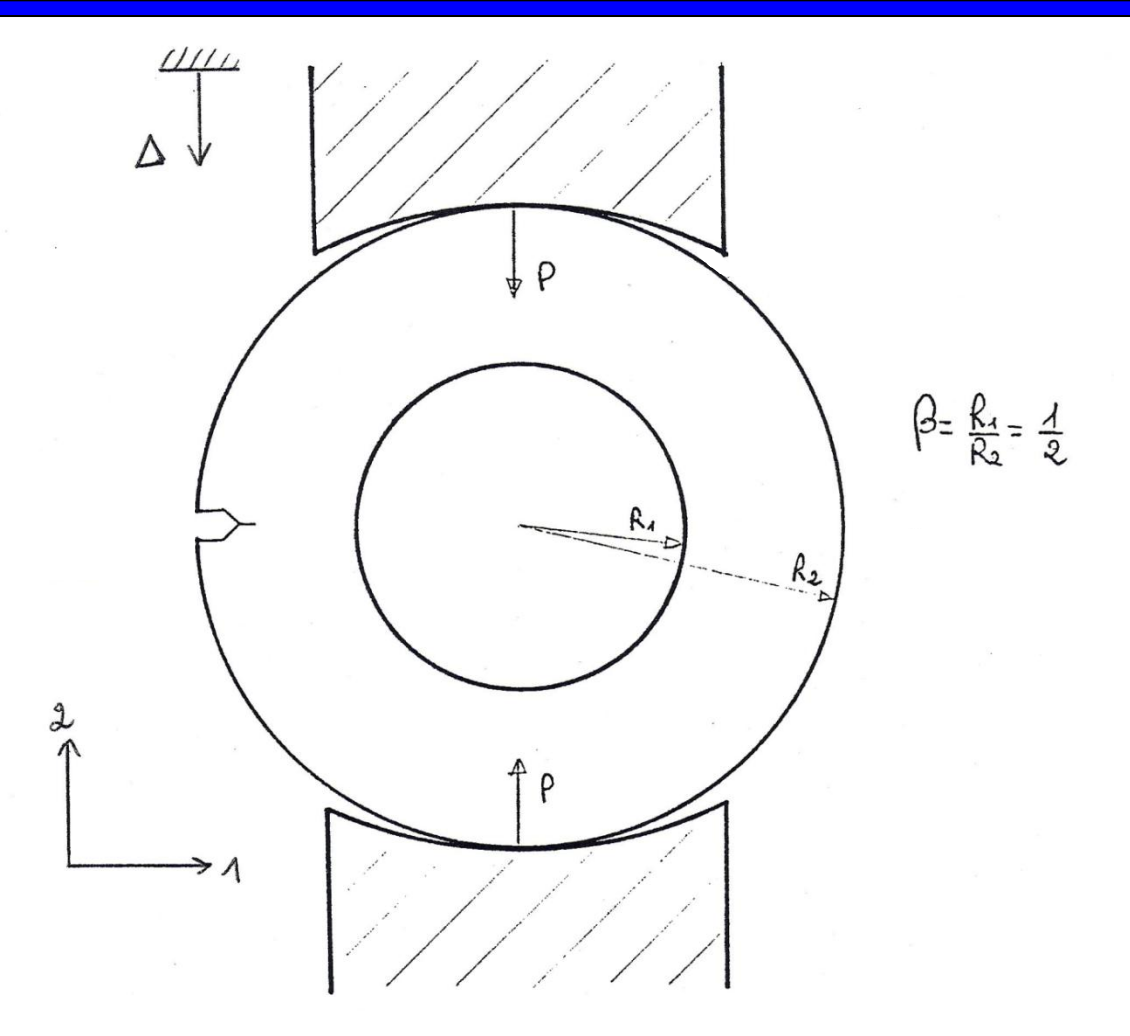


PLAN

- I) DISPOSITIF EXPERIMENTAL : LA COURONNE DE PMMA
- II) RESULTATS ET OBSERVATIONS :
 ZOOM SUR LES FACIES DE RUPTURE ...
- III) MODELISATION:
 DES FRONTS DE FISSURE SECONDAIRES
- IV) VALIDATION:
 ENTRE THEORIE ET EXPERIENCE ...
 - V) APPROCHE EN 3D:

REPRESENTATION SPATIO-TEMPORELLE ...





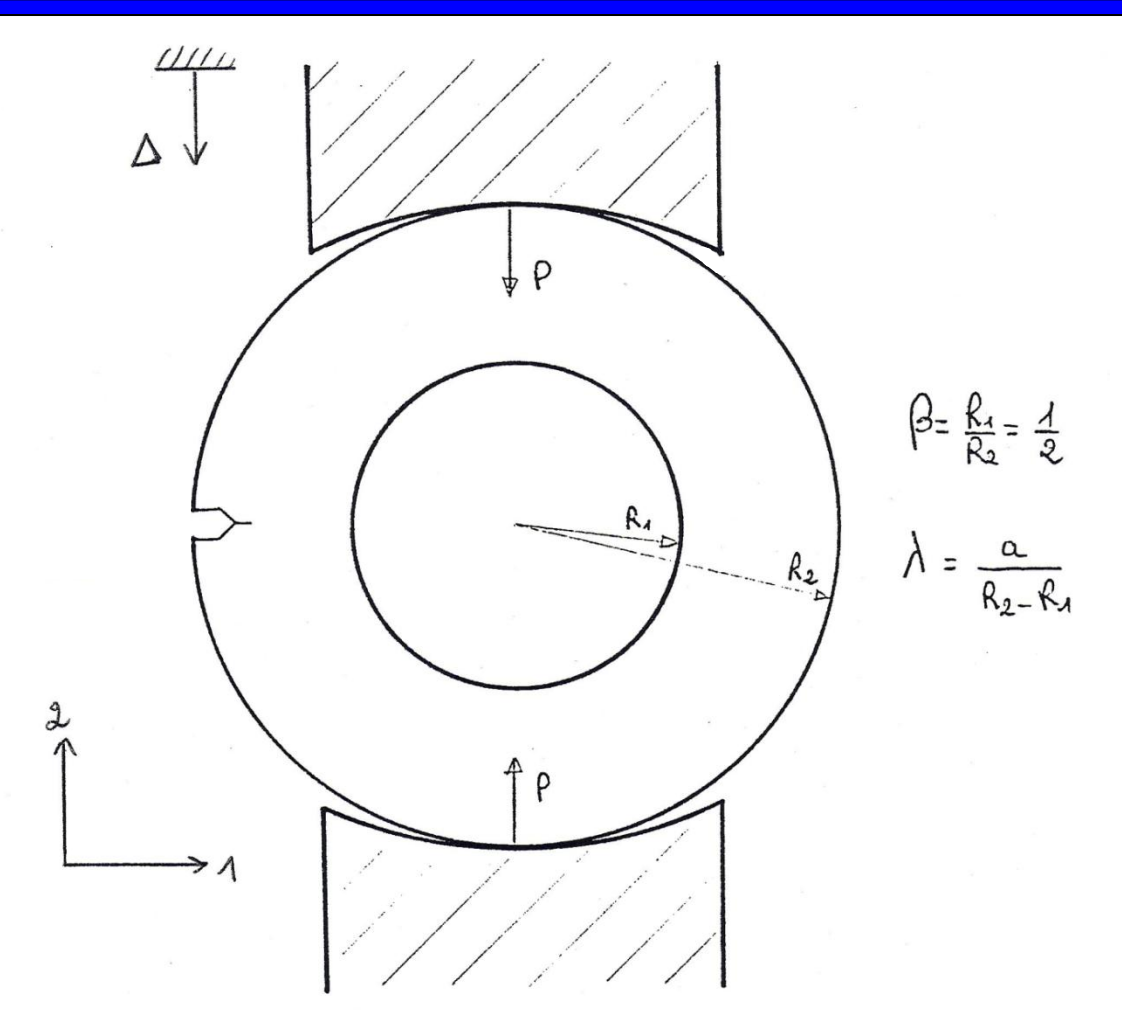
Dispositif expérimental





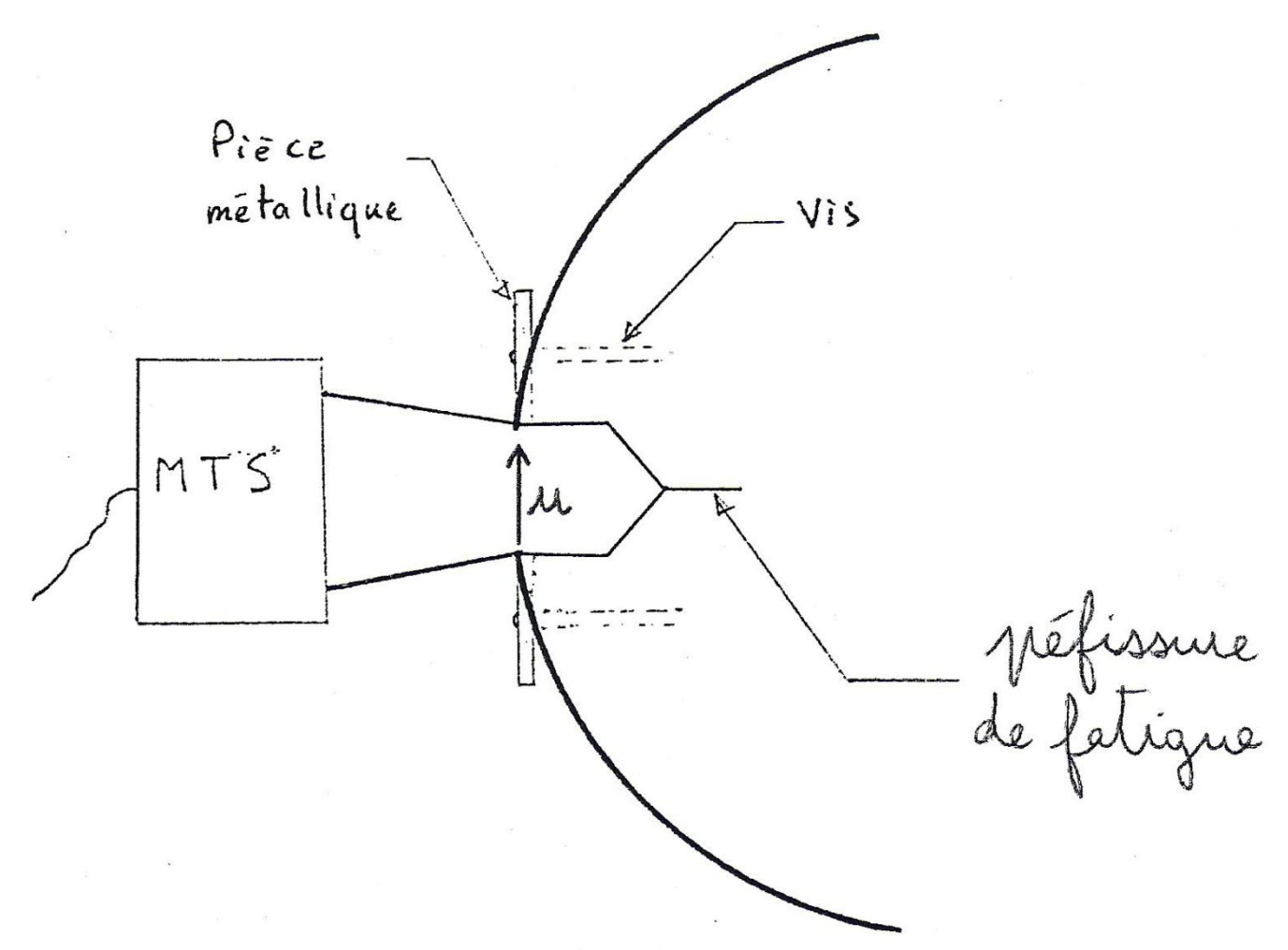
Machine d'essais servo-hydraulique 25 tonnes





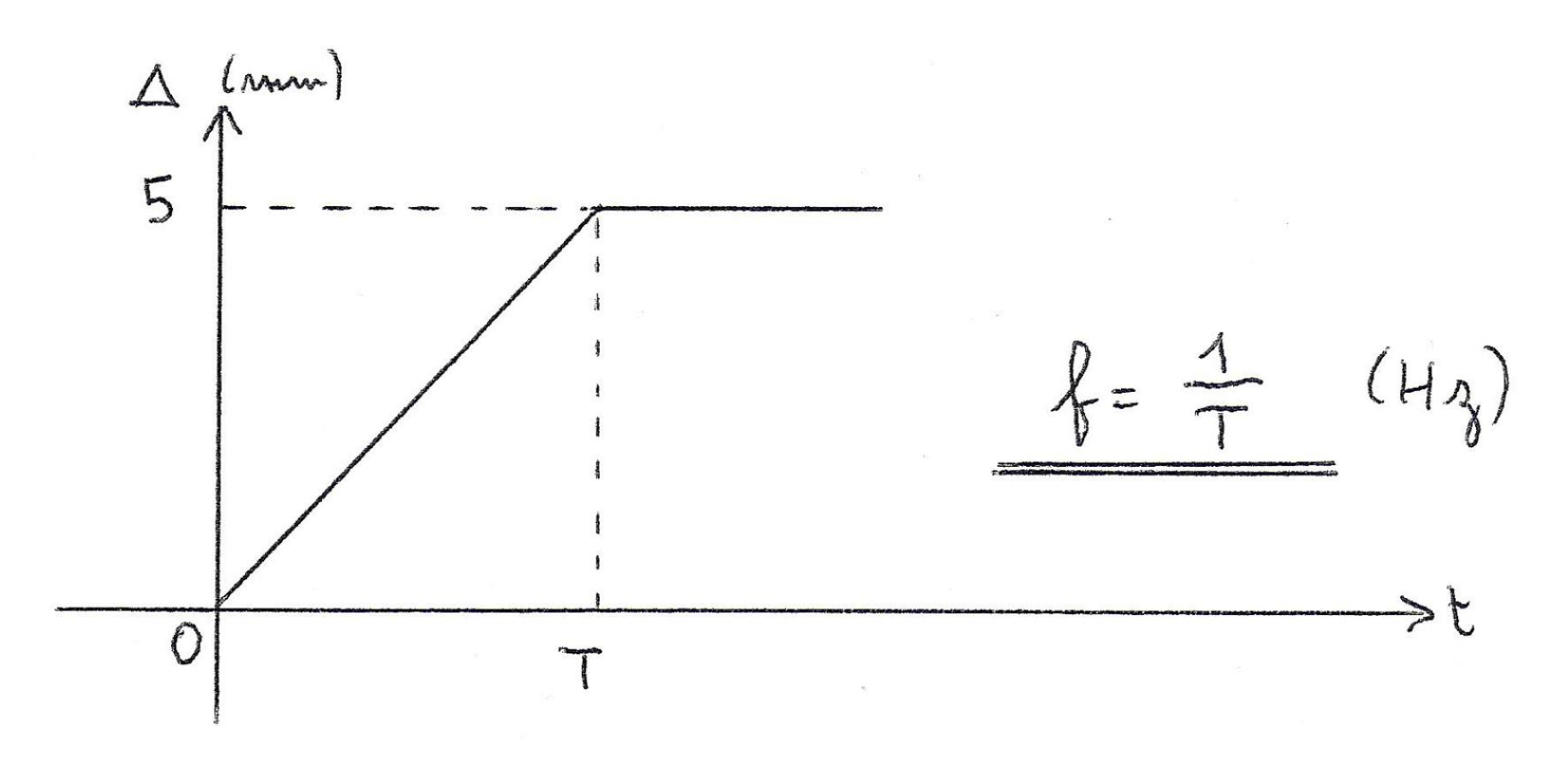
Dispositif expérimental





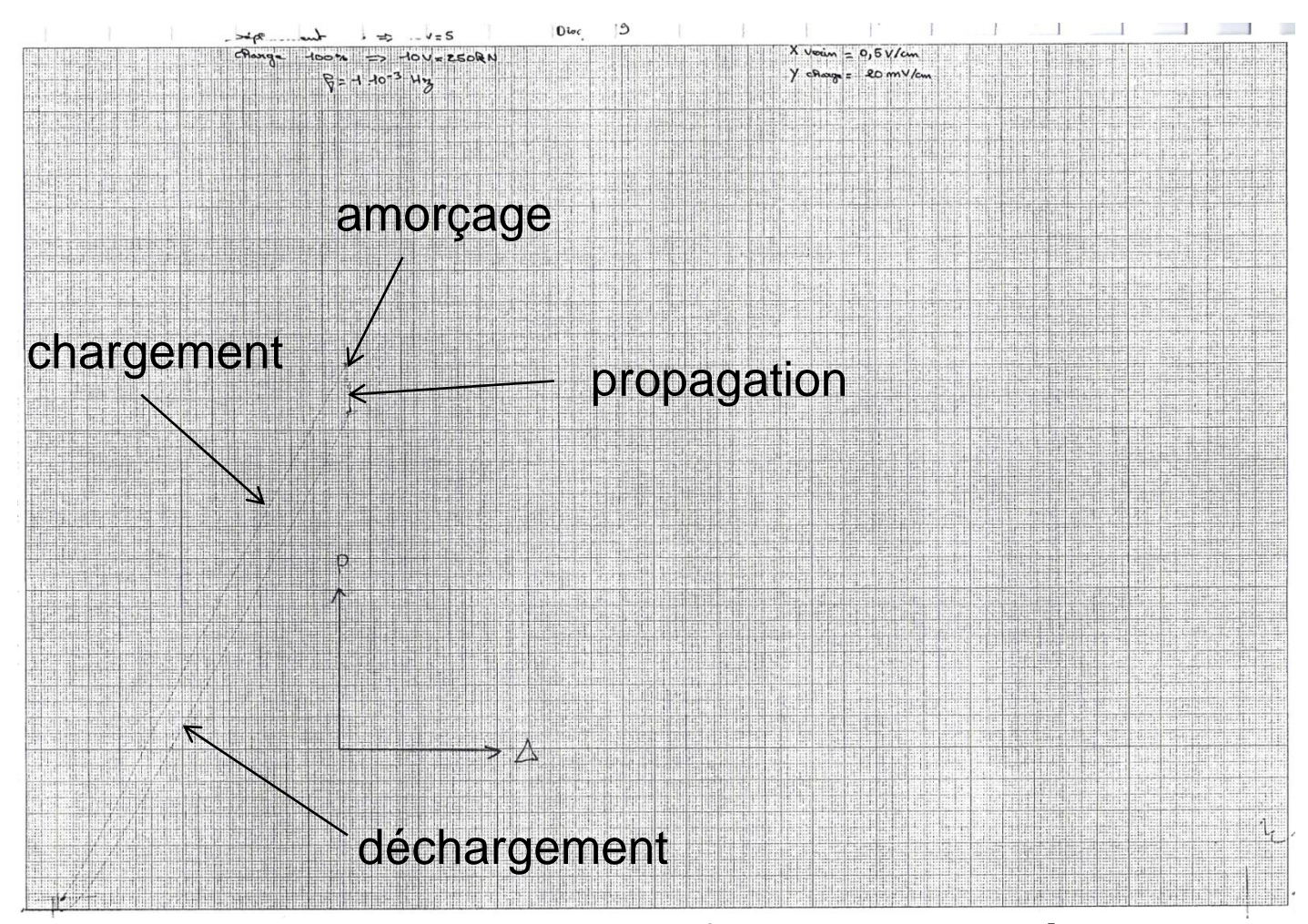
Mesure de l'ouverture de la fissure par extensométrie





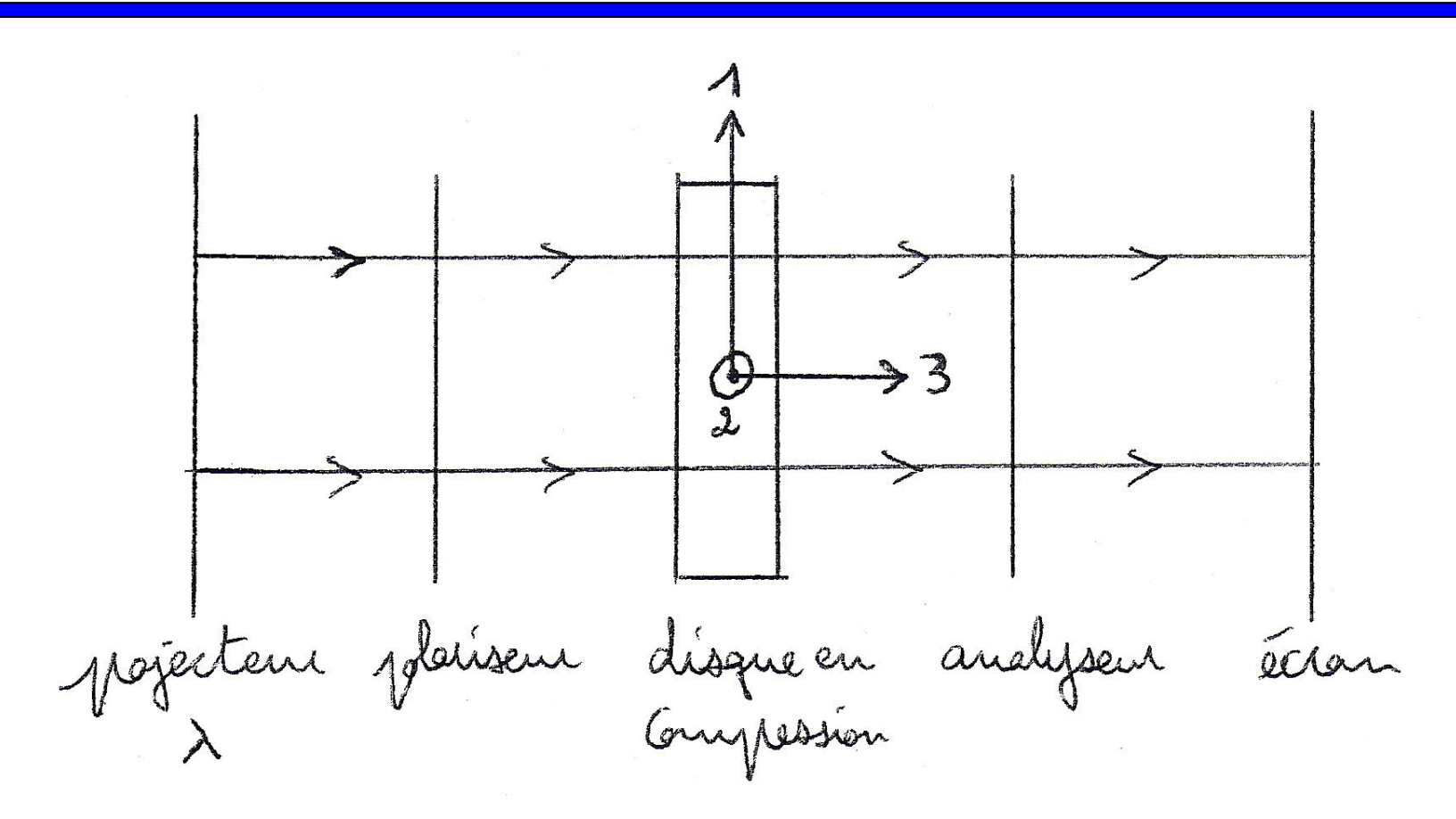
Echelon de déplacement imposé





Evolution de la charge en fonction du déplacement

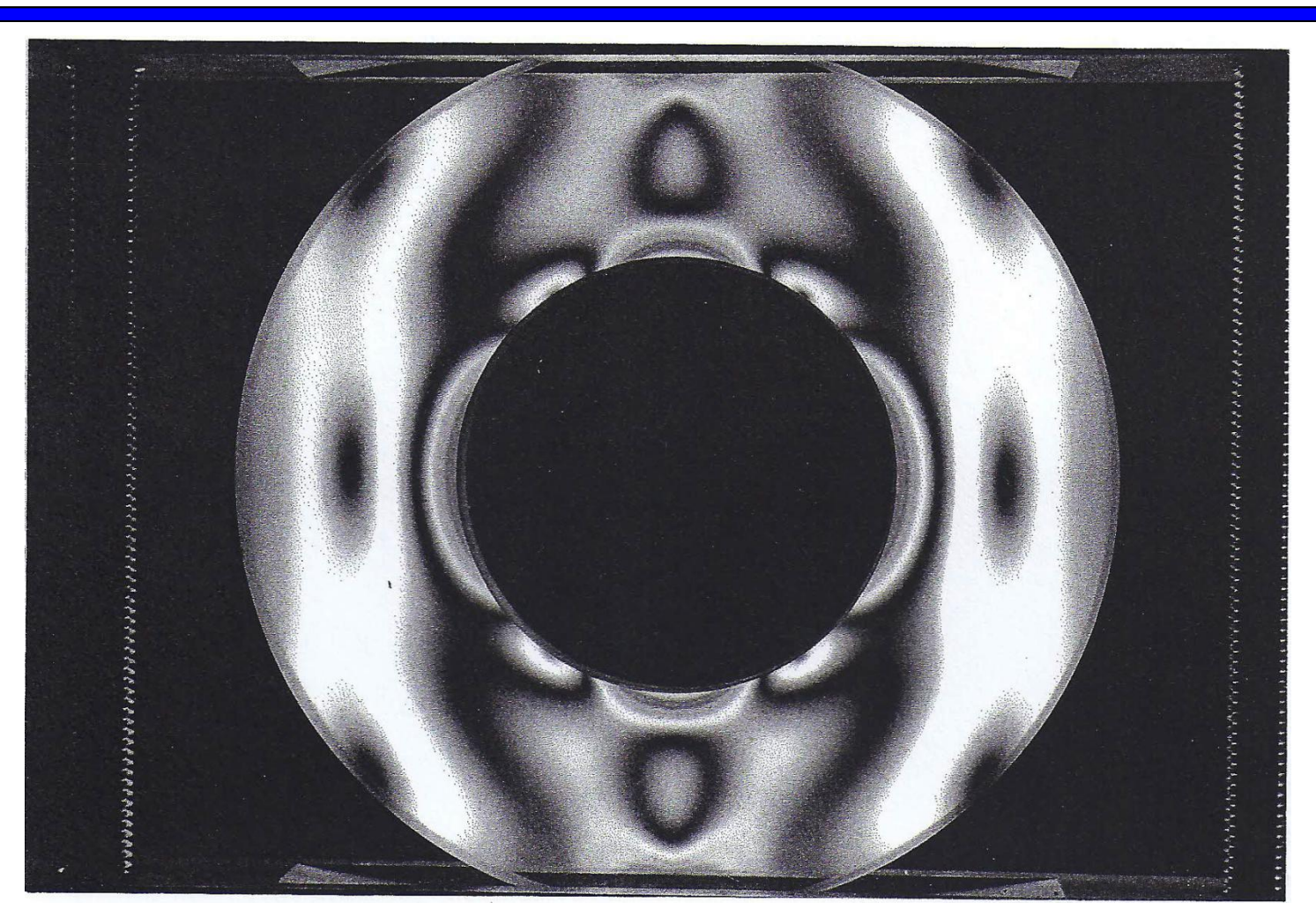




vue de dessus

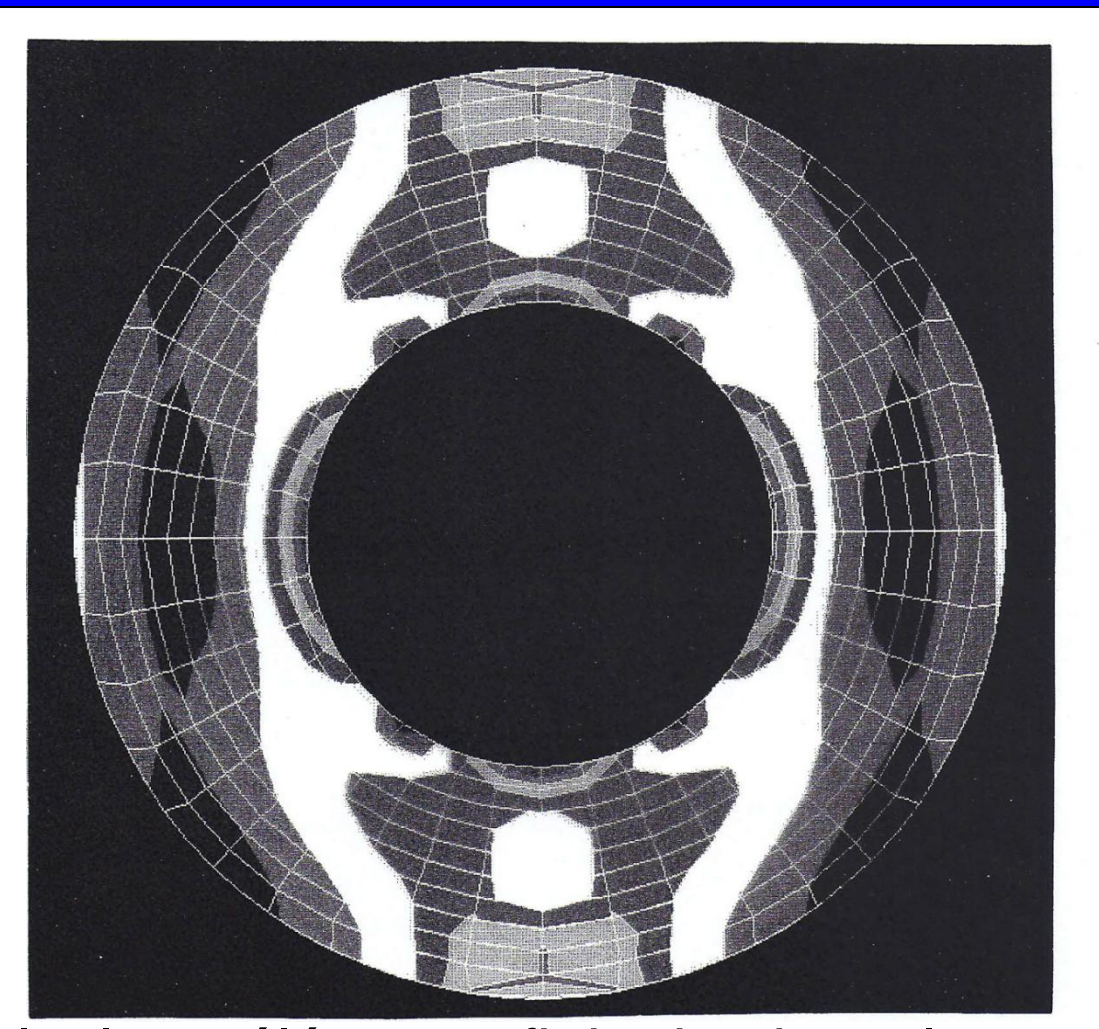
Dispositif de photoélasticimétrie

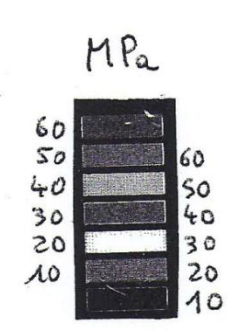




Etat de contrainte d'une couronne en cours de compression



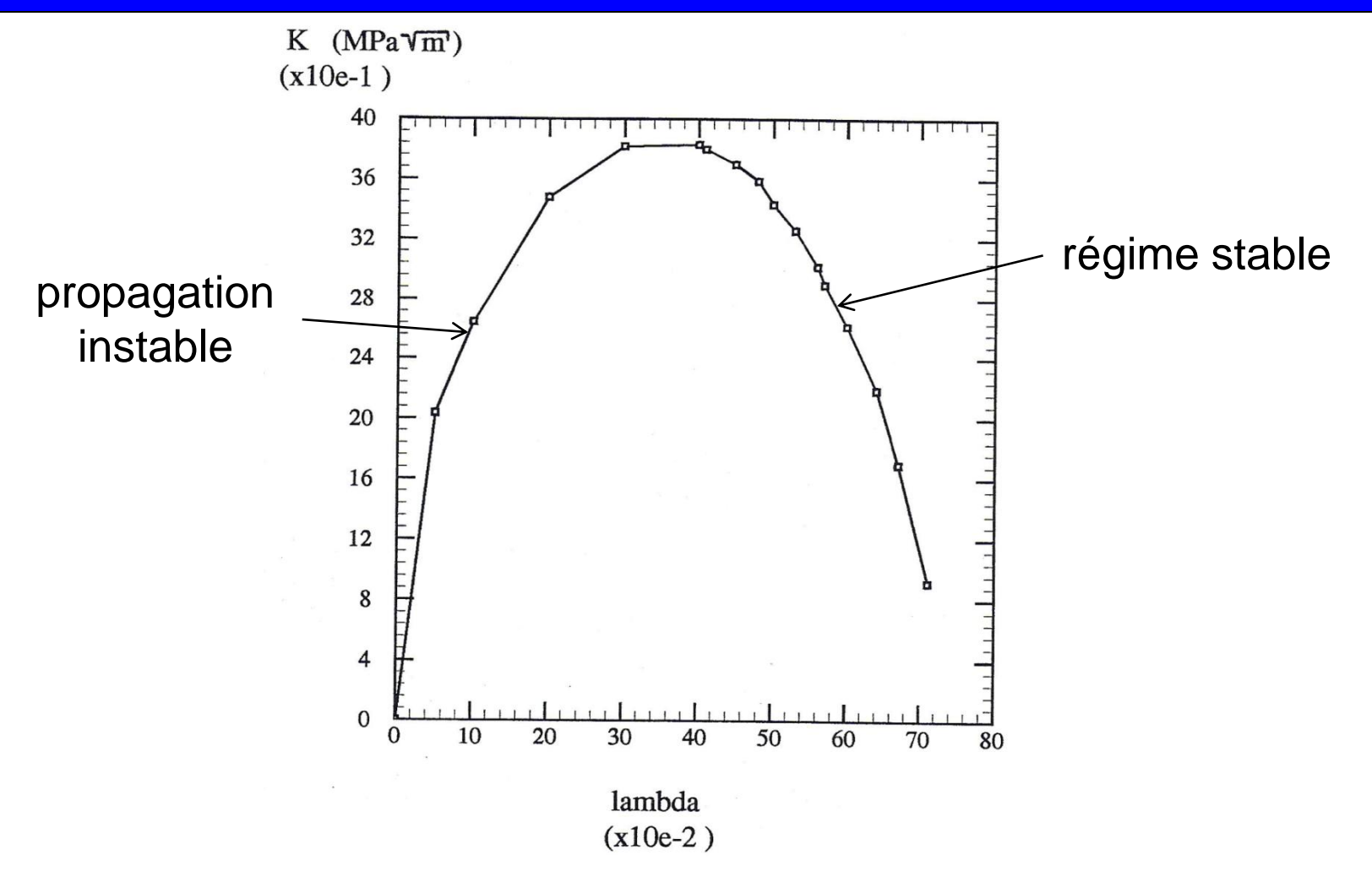




Calcul par éléments finis des isovaleurs de contrainte

Approche interdisciplinaire mathématiques / physique en 2^{nde} GT, 1^{ère} S



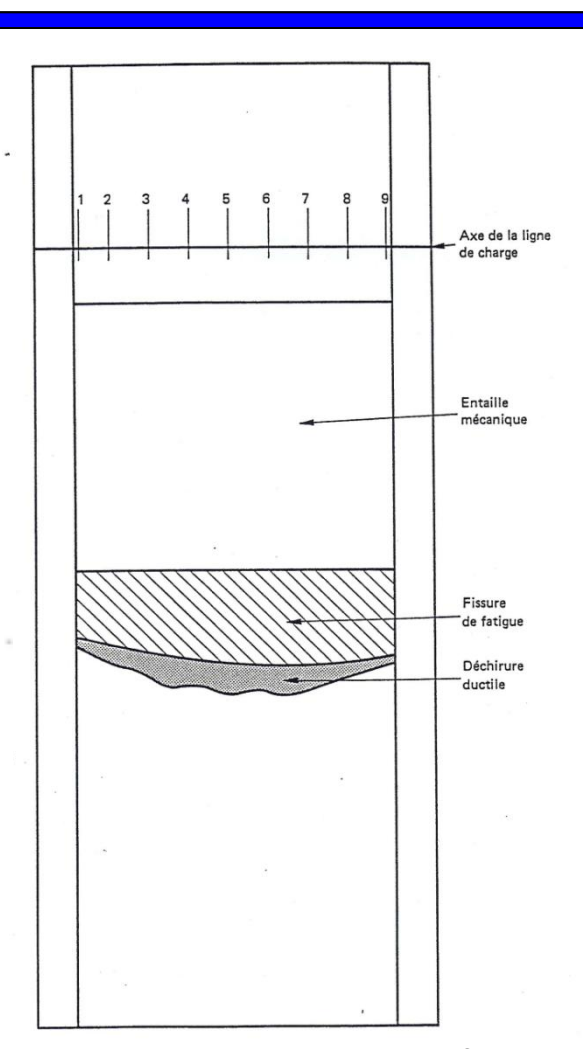


Facteur d'intensité des contraintes en fonction de la fissure



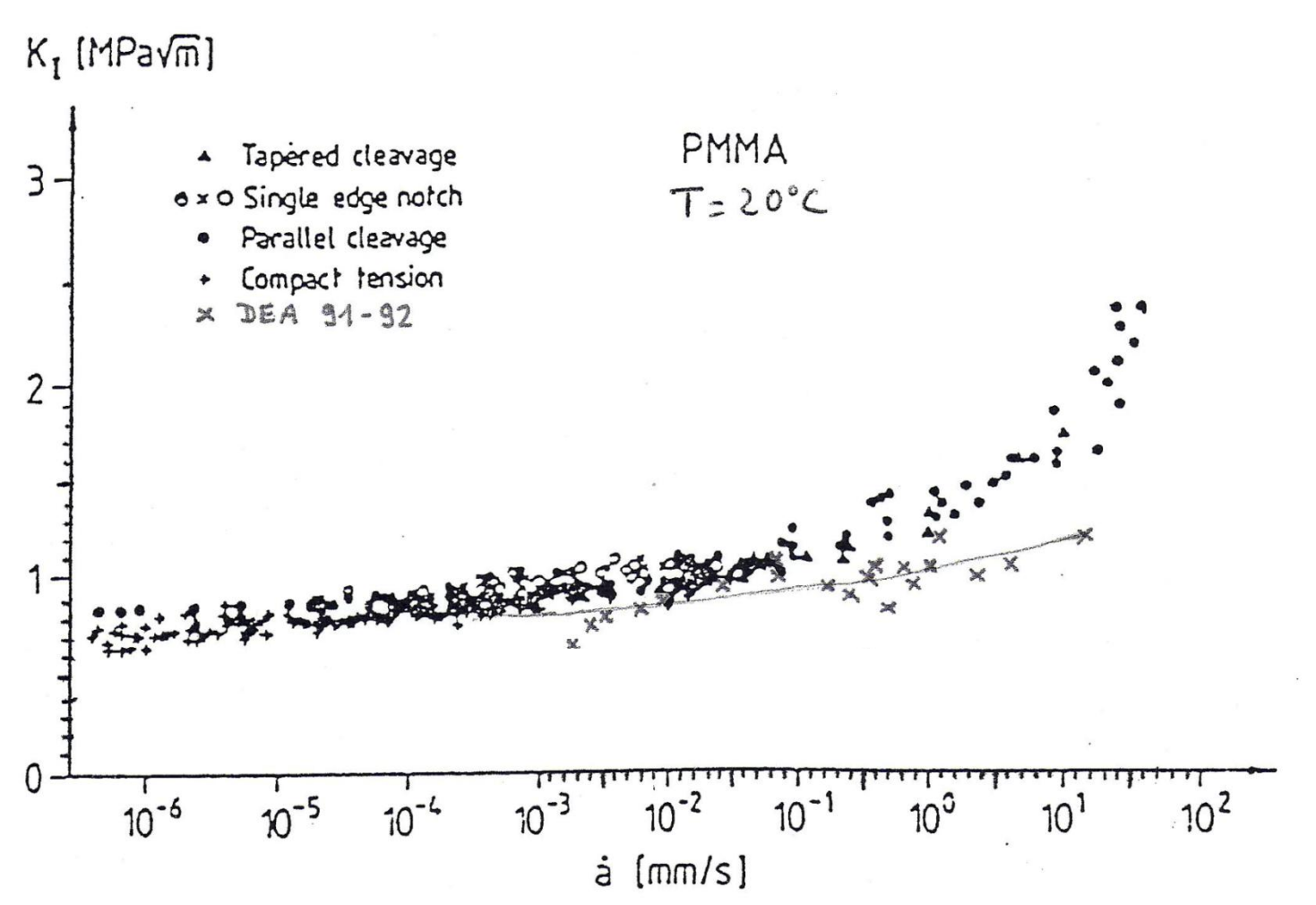


$$a = \frac{1}{8} \left\{ \frac{a^1 + a^9}{2} + \sum_{i=2}^{8} a^i \right\}$$



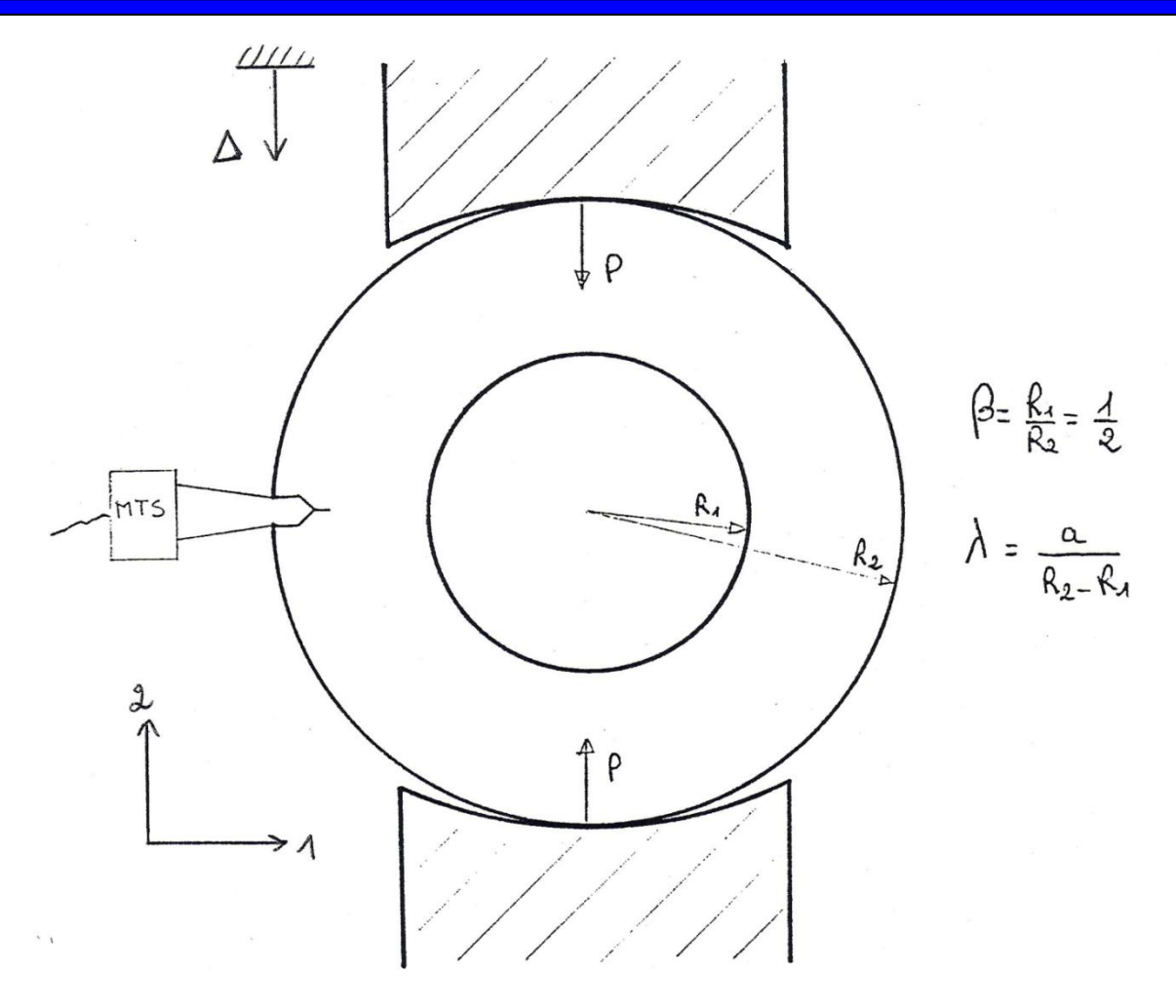
Mesure des longueurs de fissures





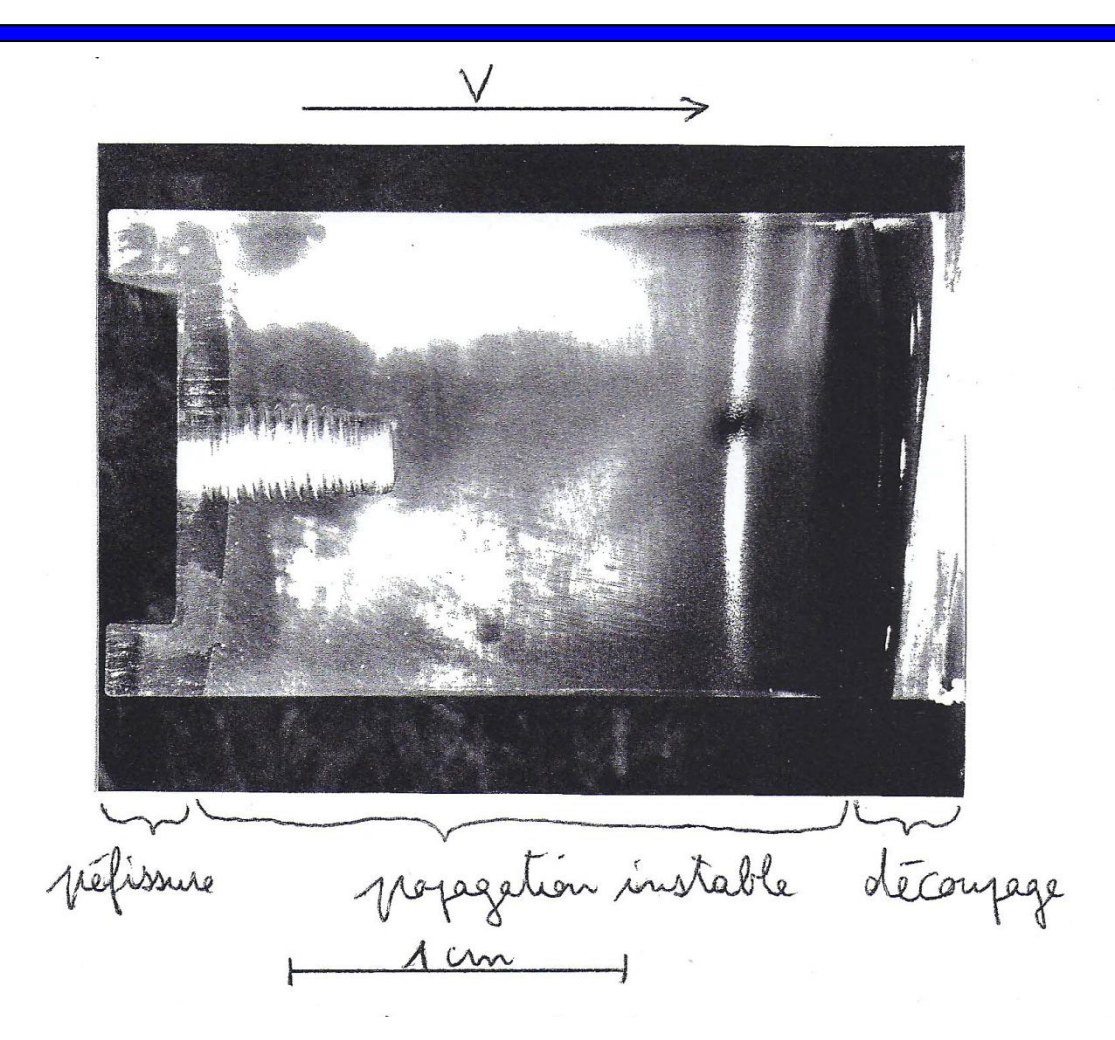
Facteur K_I en fonction de la vitesse de la fissure





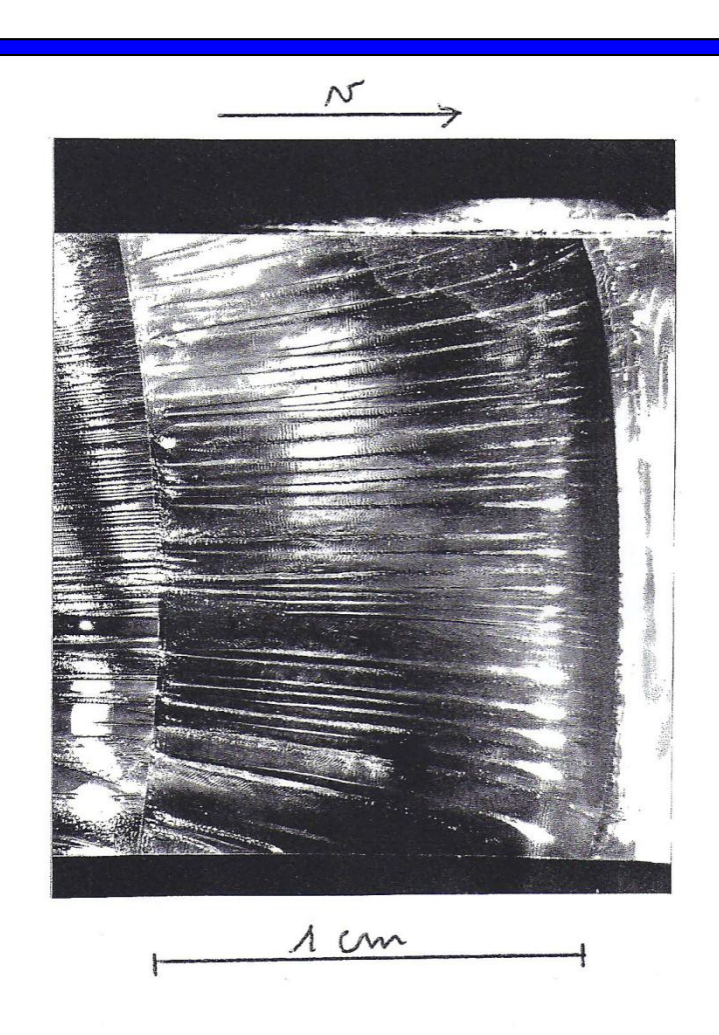
Dispositif expérimental





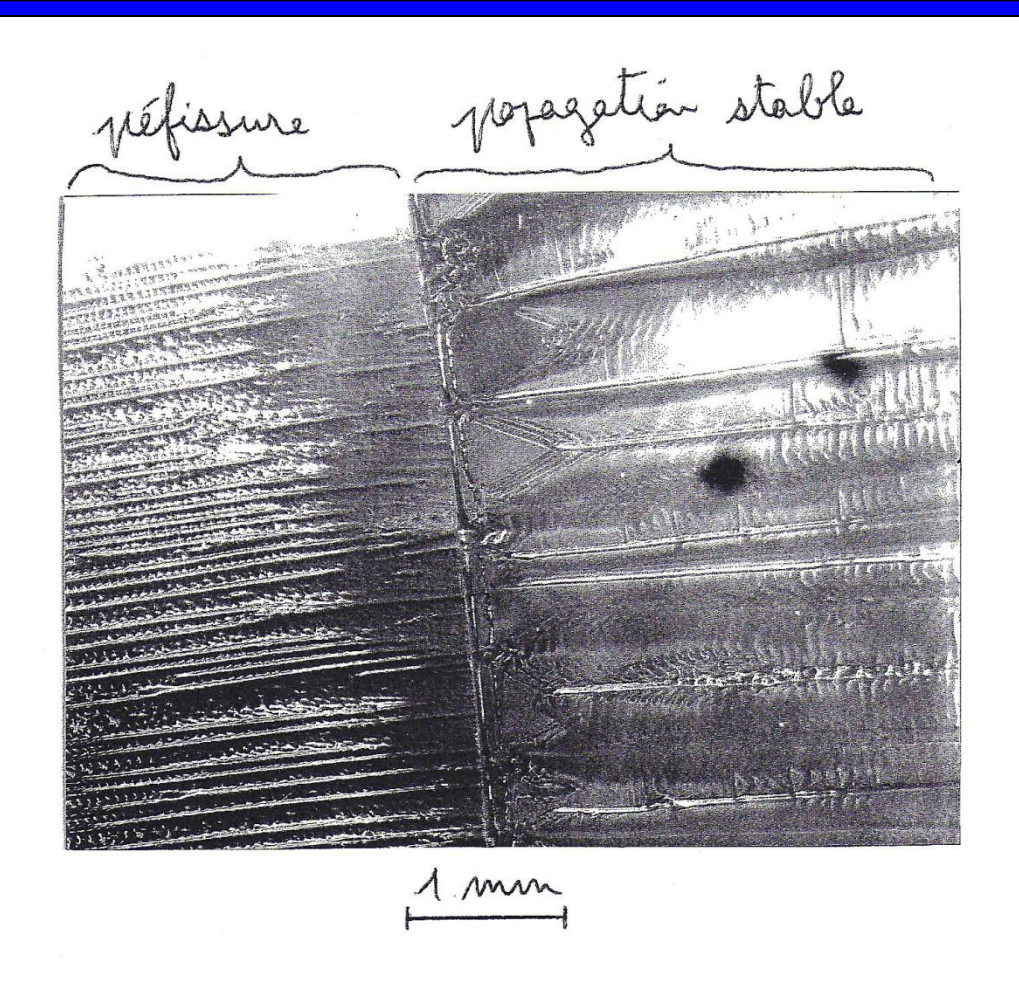
Vue globale du faciès de rupture fragile (binoculaire)





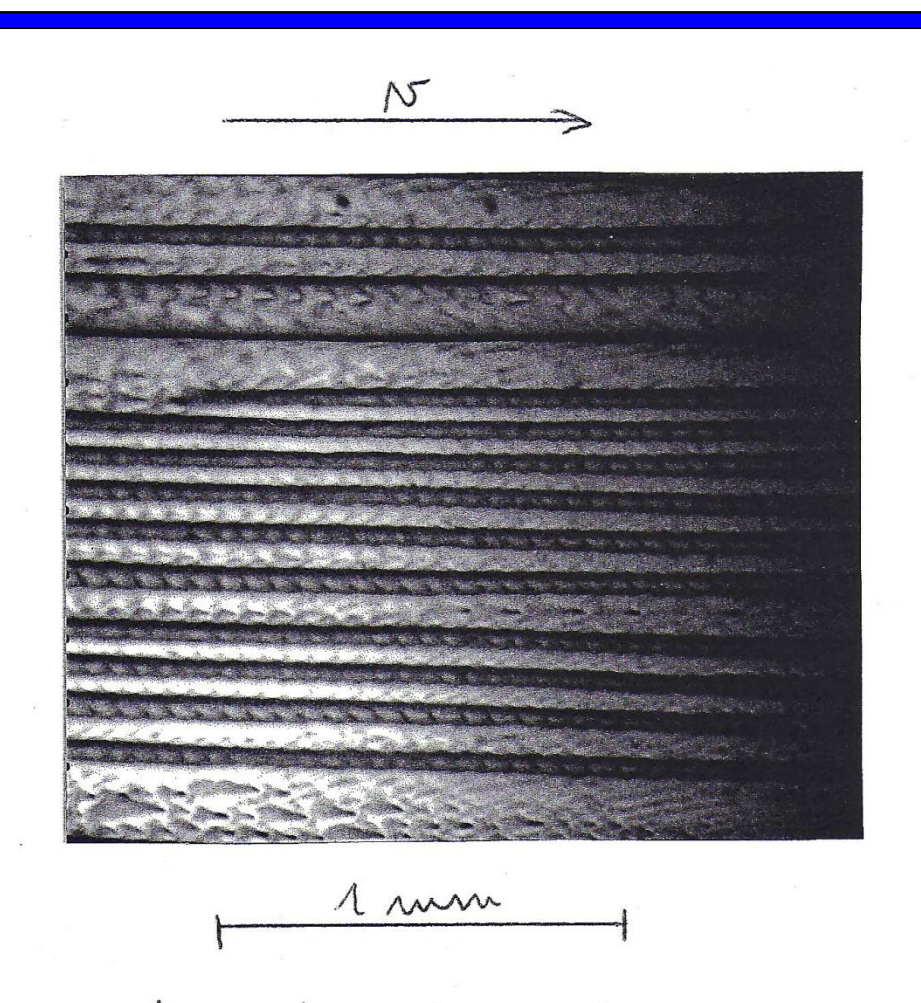
Zone de propagation stable





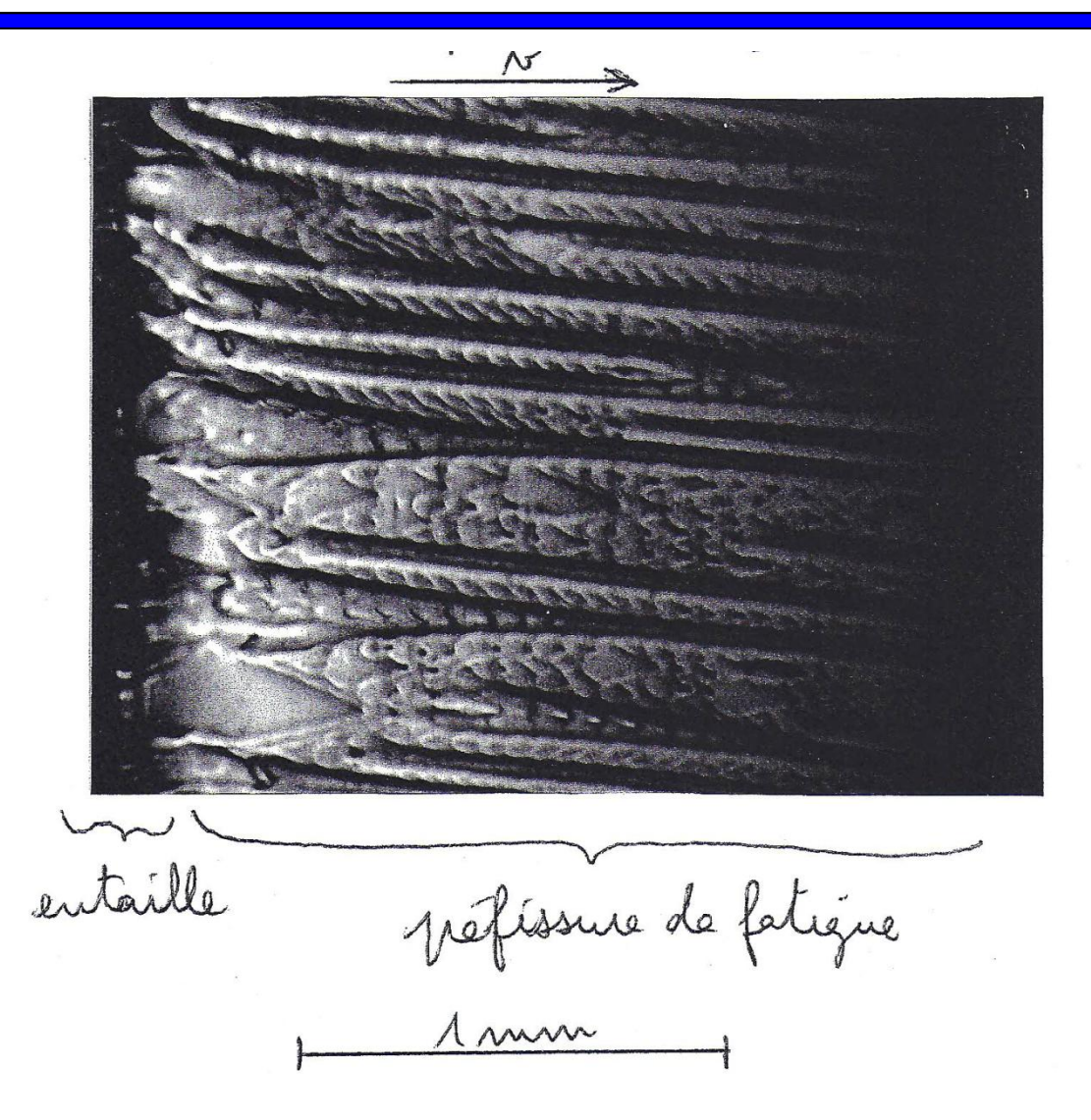
Détail du front de séparation





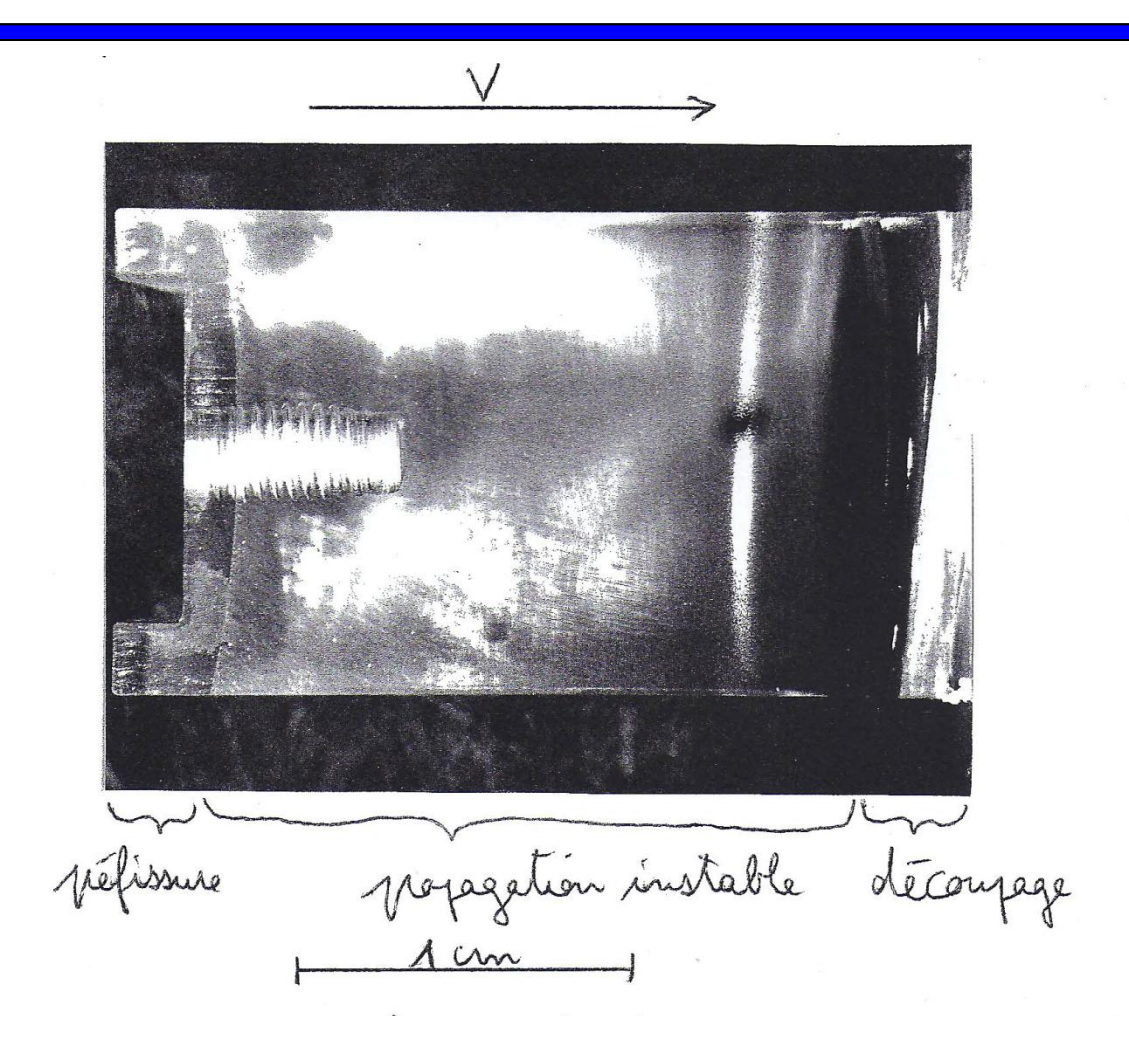
Stries de préfissuration par fatigue (microscope optique)





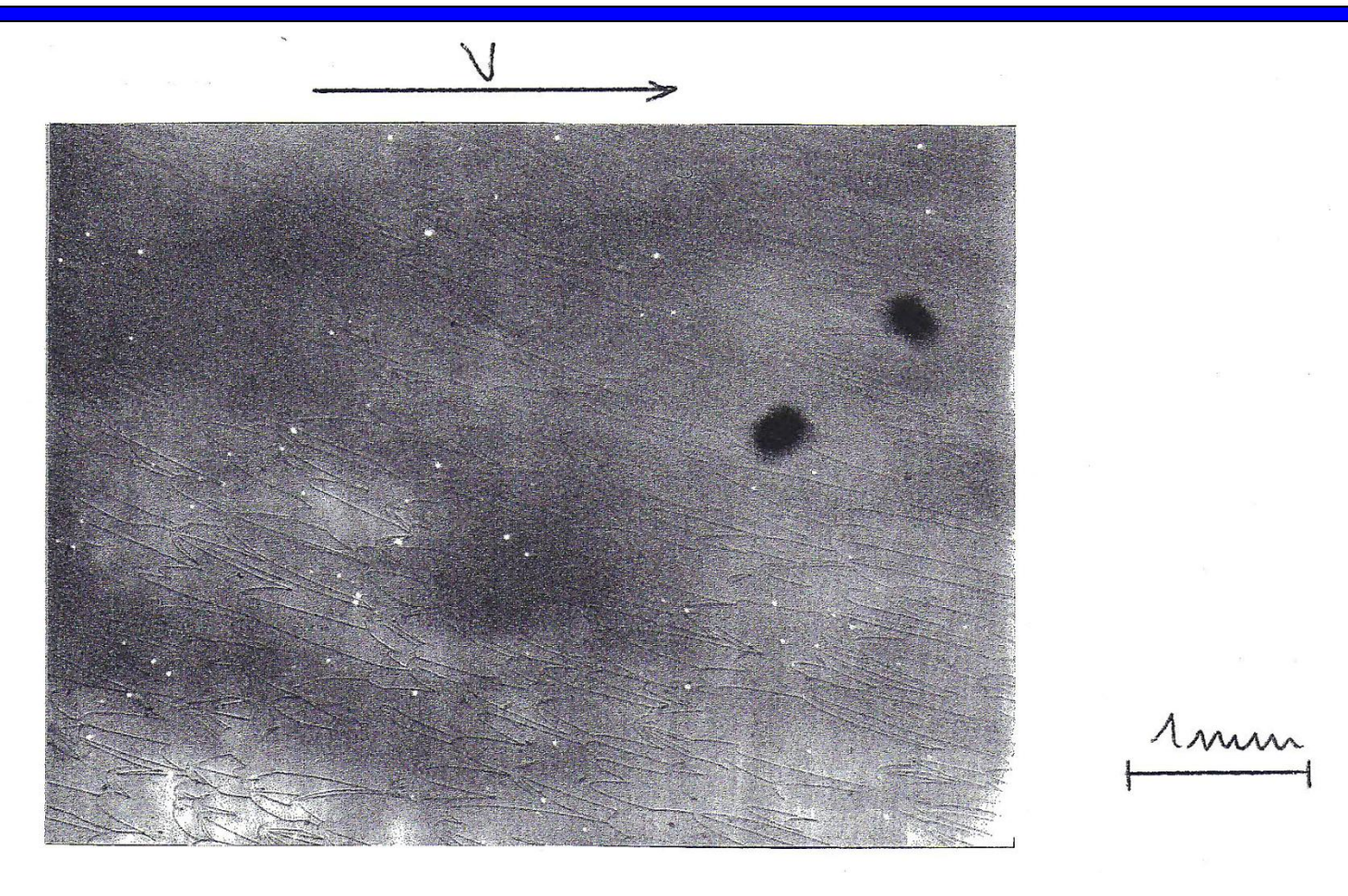
Approche interdisciplinaire mathématiques / physique en 2^{nde} GT, 1^{ère} S





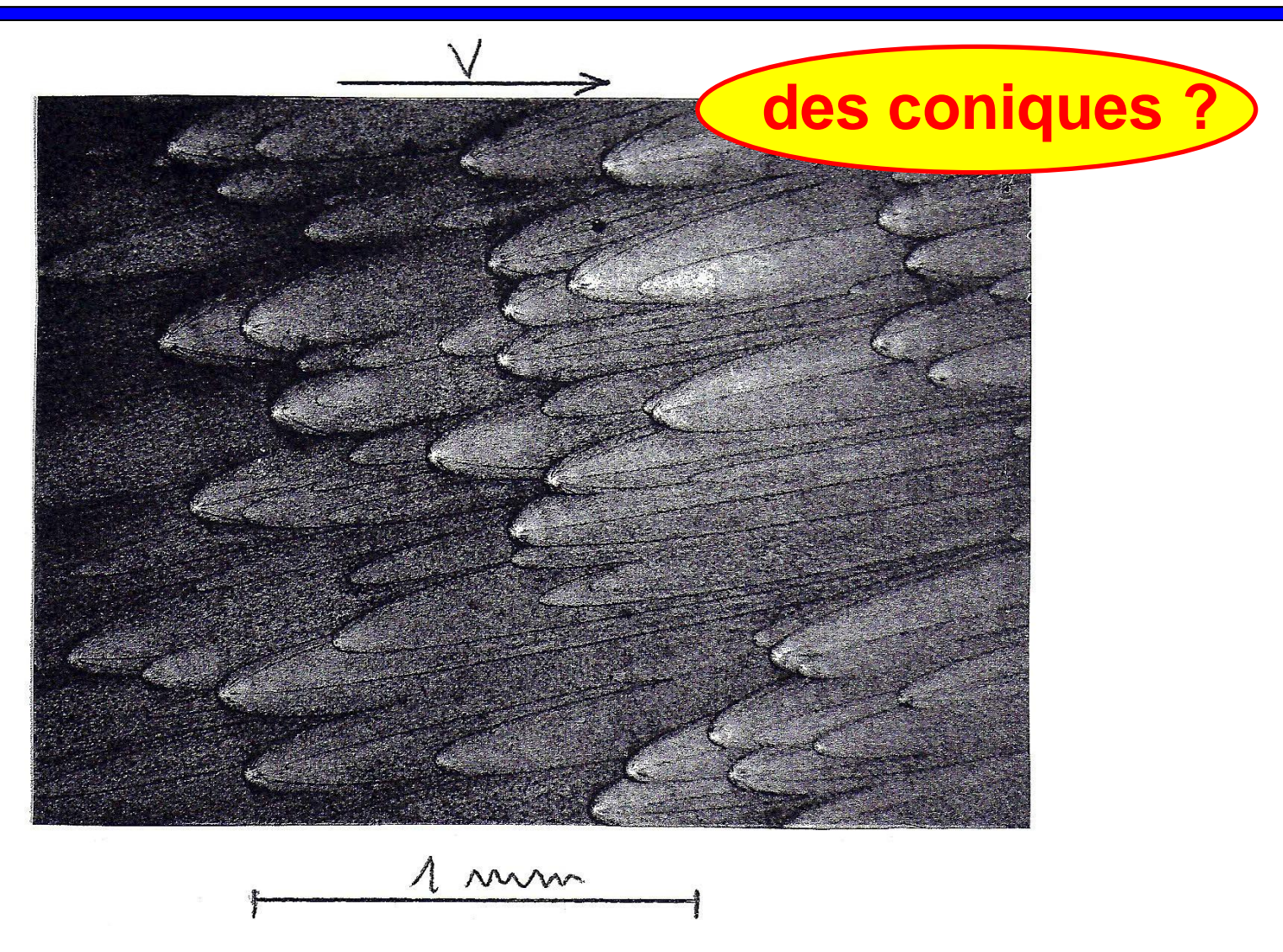
Vue globale du faciès de rupture fragile (binoculaire)





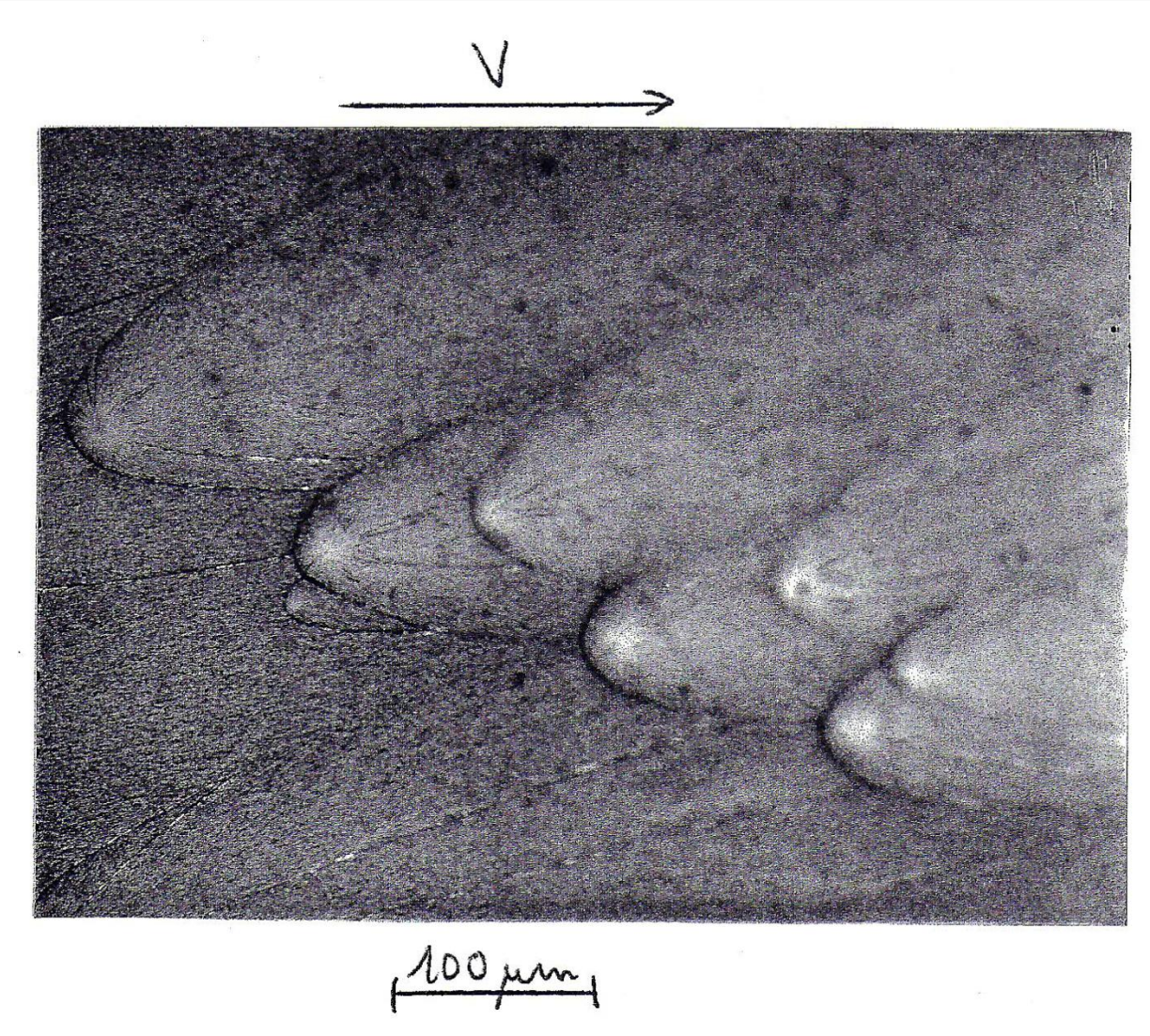
Faciès de propagation instable (microscope optique)





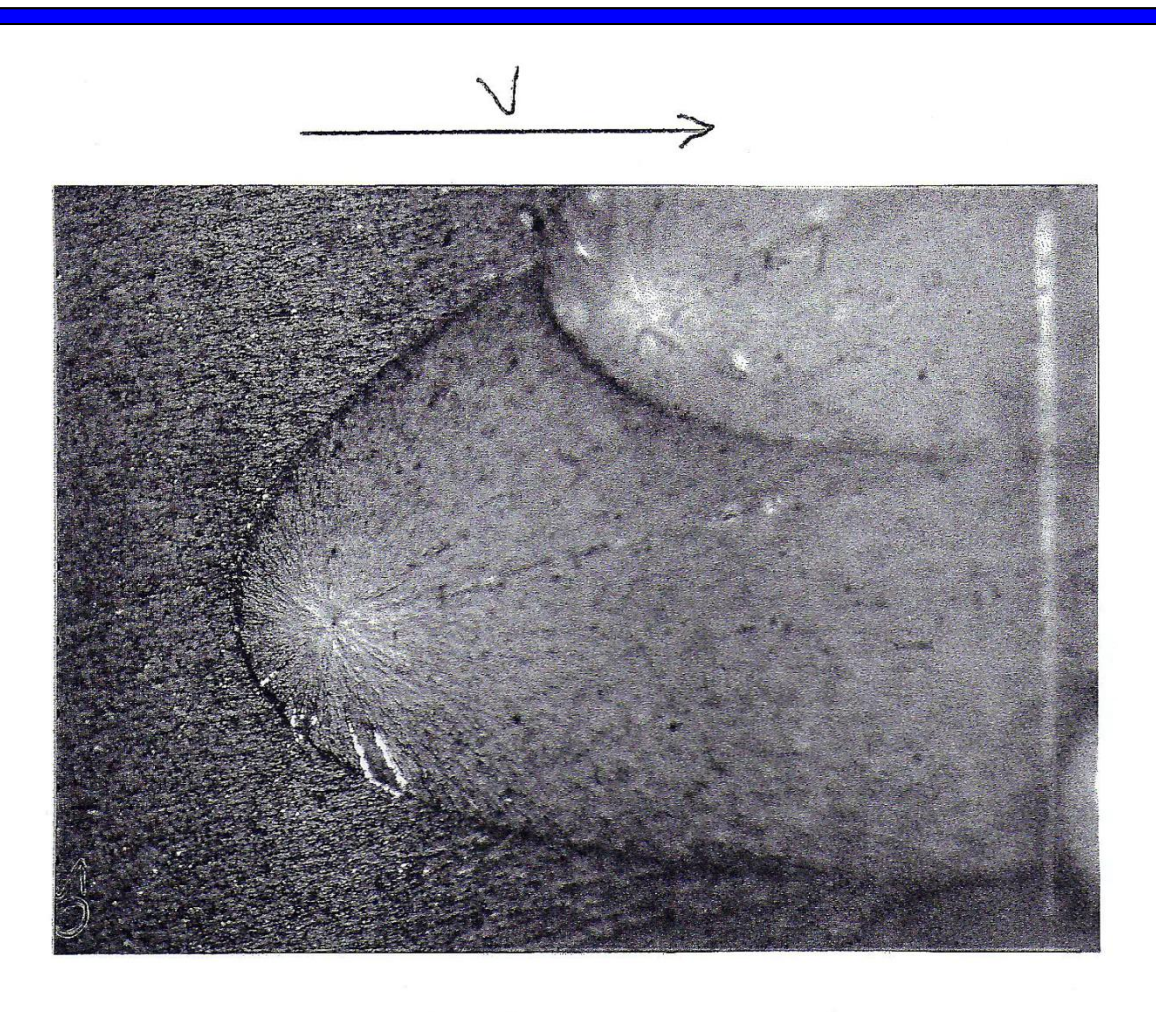
Approche interdisciplinaire mathématiques / physique en 2^{nde} GT, 1^{ère} S





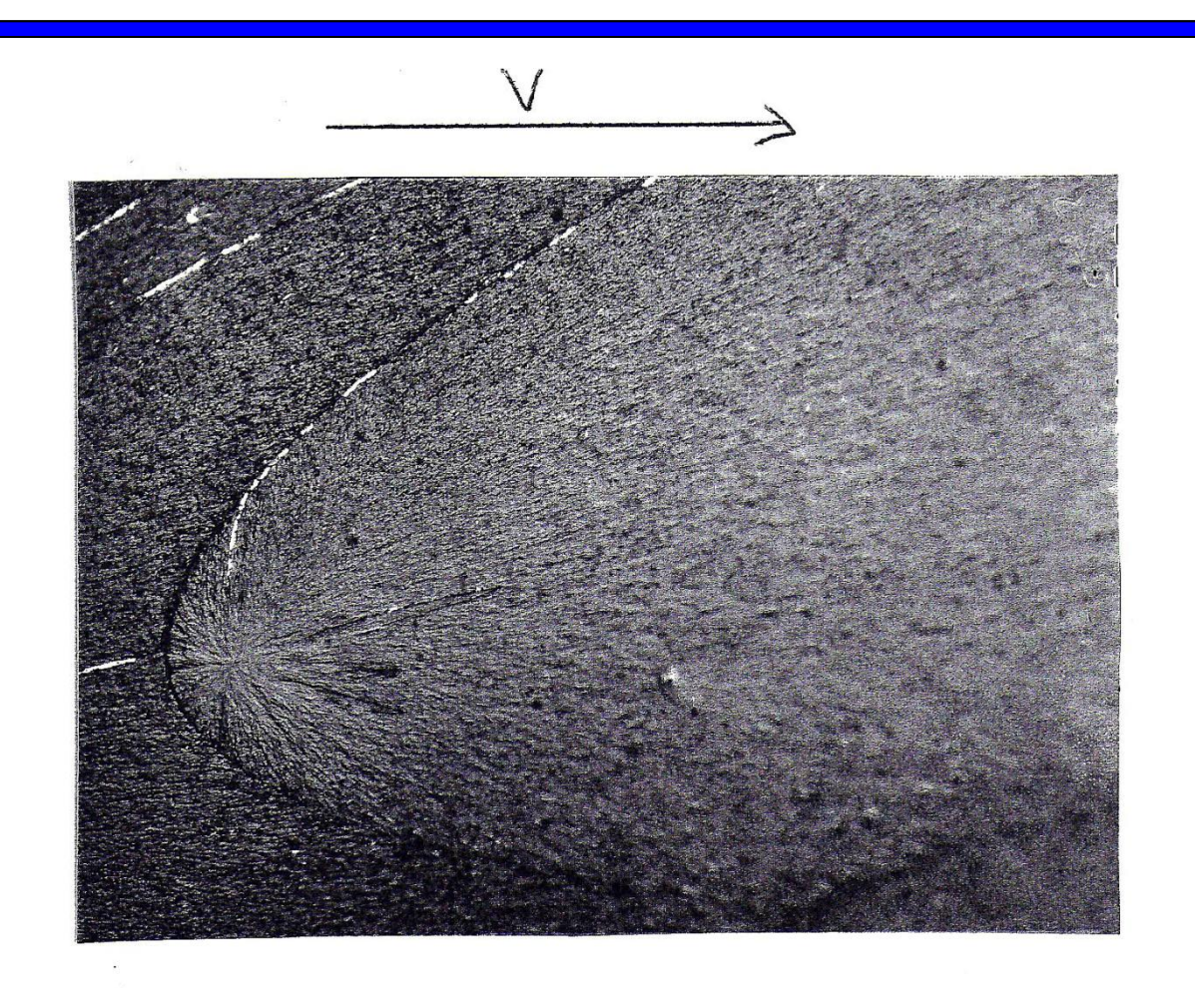
Approche interdisciplinaire mathématiques / physique en 2^{nde} GT, 1^{ère} S





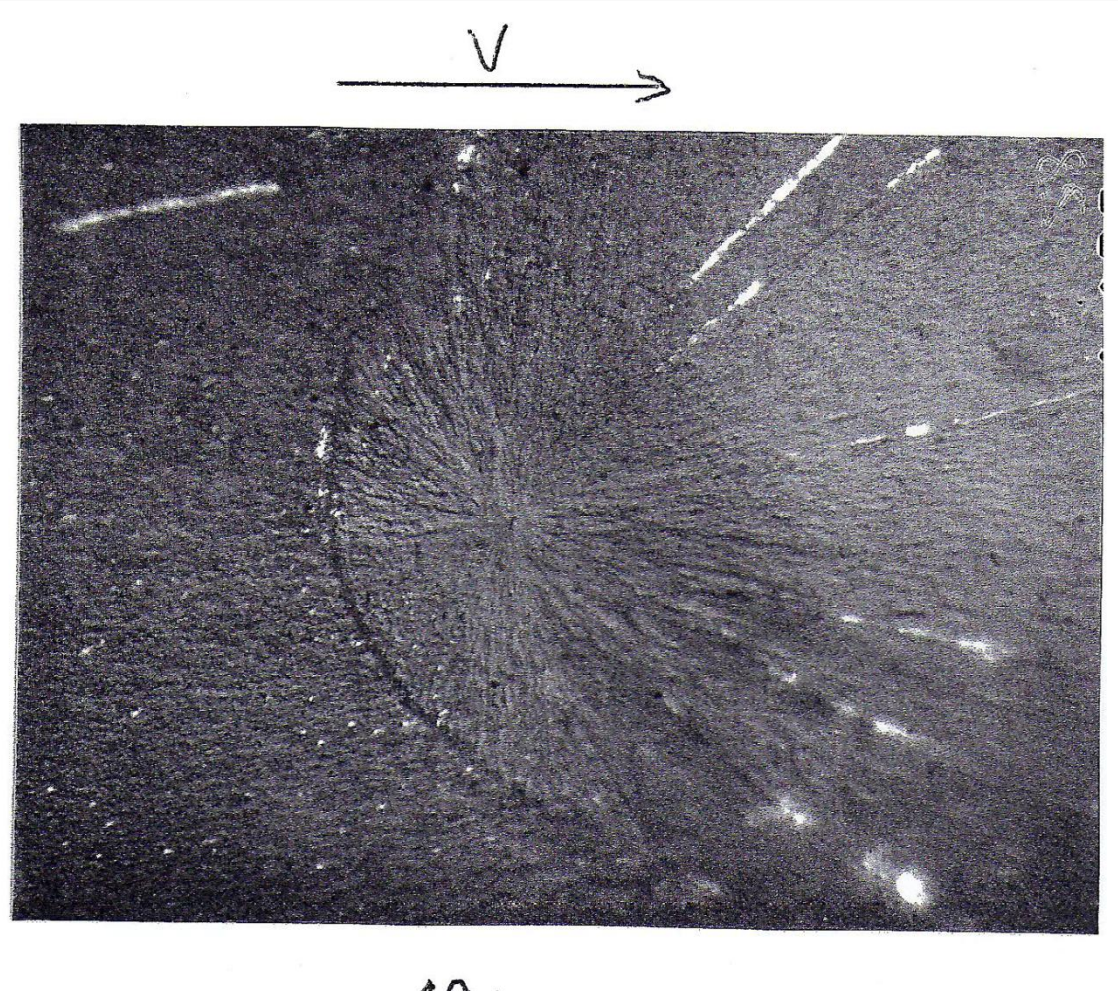
100 pm





100 pm

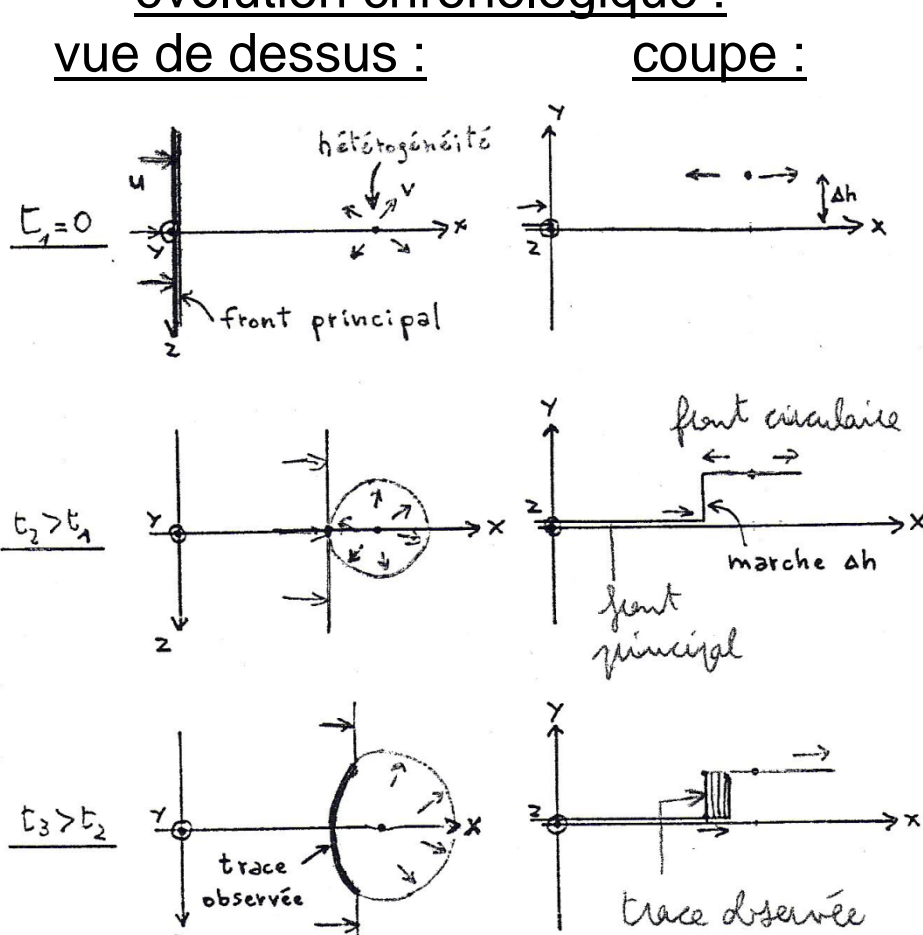




10 pm



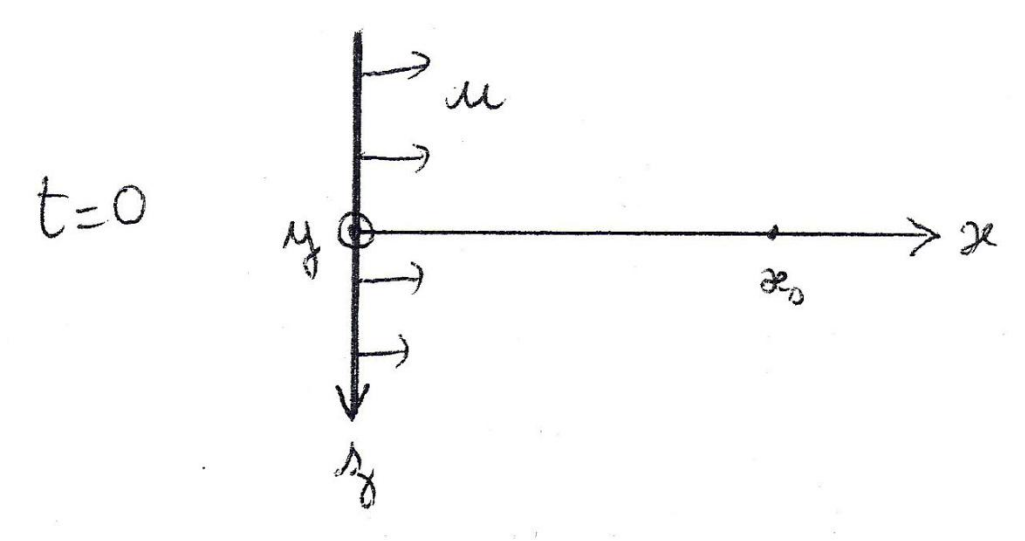
évolution chronologique :



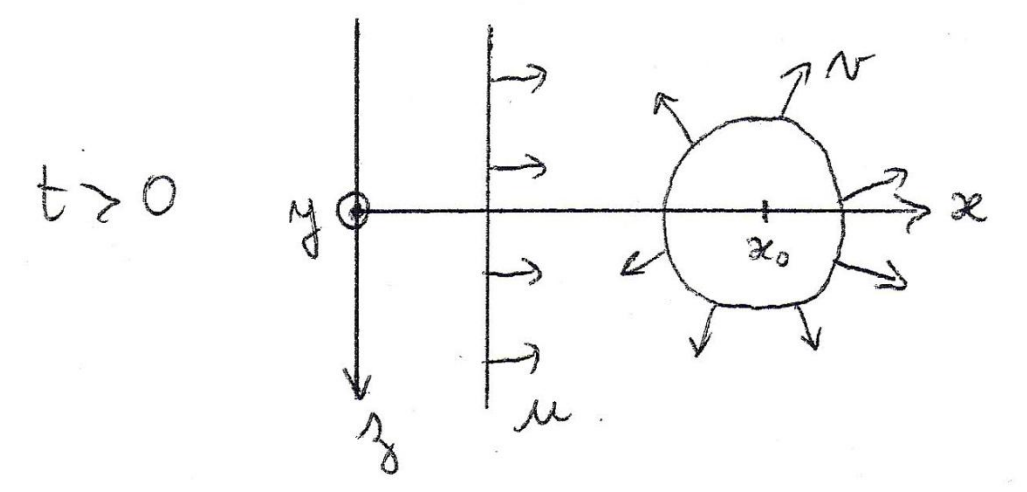
Rencontre de deux fronts de fissuration







Avancée des deux fronts de fissuration





$$*x = ut$$

$$*(vt)^2 = z^2 + (x - x_0)^2$$

d'où

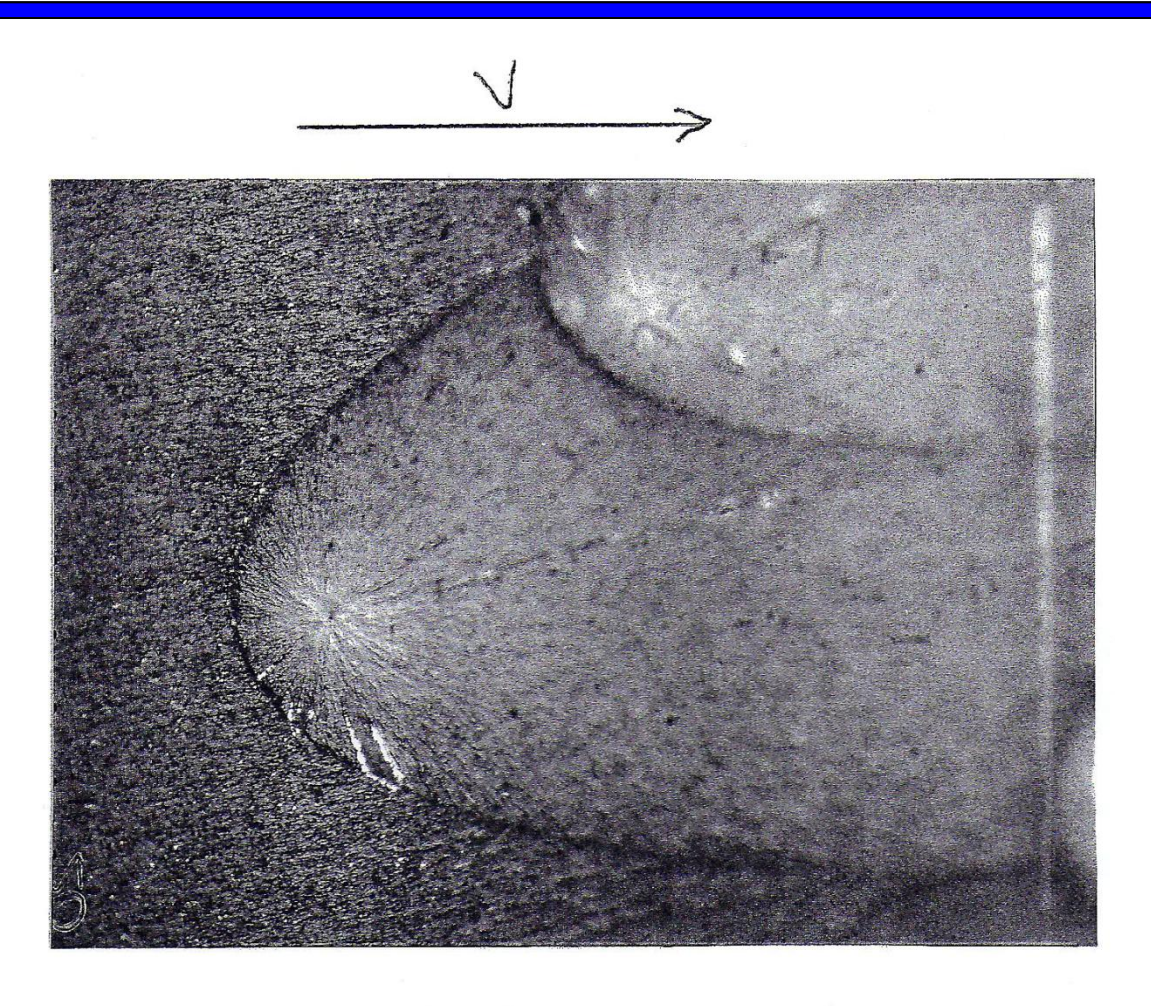
$$z^{2} + (1 - \frac{v^{2}}{u^{2}})x^{2} = x_{0}(2x - x_{0})$$



=> des coniques!

- Si u > v : des ellipses
- Si u = v : des paraboles
- Si u < v : des branches d'hyperboles





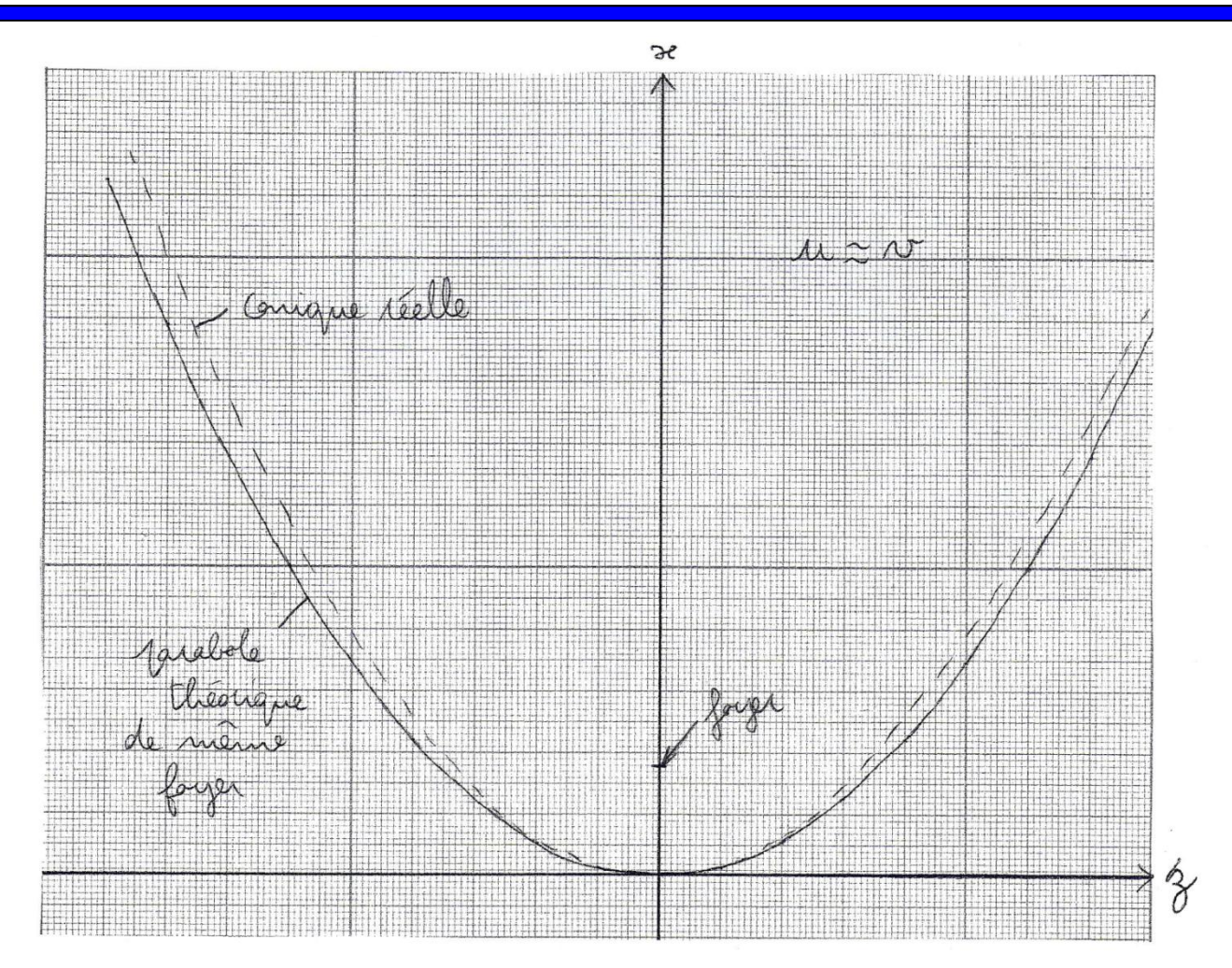
100 pm



Si
$$u = v$$
:

$$x = \frac{x_0}{2} + \frac{1}{2x_0}z^2$$





Comparaison entre forme théorique et forme expérimentale

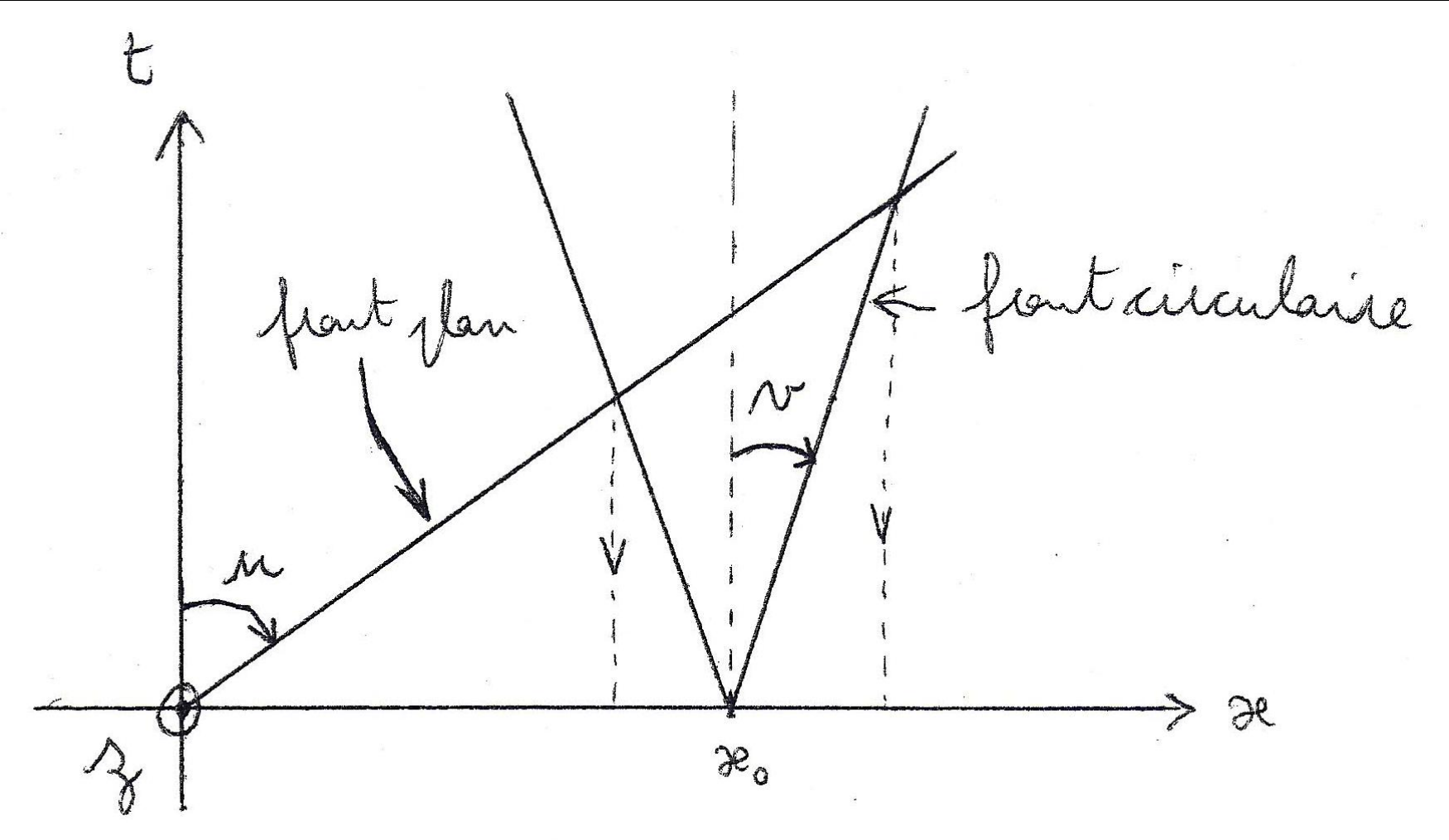


Distances moyennes entre hétérogénéités

$$=>50 \mu m$$

cf. interstries de fatigue





Evolution des deux fronts de fissure dans un diagramme (x, z, t)



- Si u > v : une ellipse
- Si u = v: une parabole
- Si u < v : une branche d'hyperbole







SYNTHESE

- Formation de coniques dans un matériau
- Modèle phénoménologique
- Description mathématique ...
 avec approche possible en 3D ...







REMERCIEMENTS

- Professeur André PINEAU, MINES ParisTech
- Centre des Matériaux
 Pierre Marie Fourt